

# 新型高压变频器设计

张亮<sup>1</sup>,陈国栋<sup>1,2</sup>,蔡旭<sup>1</sup>

(1. 上海交通大学 风力发电研究中心,上海 200240;2. 上海输配电股份有限公司,上海 200240)

**摘要:** 开发了一款可能量反馈的级联型高压变频器,其电网侧变换器摒弃了传统的二极管不可控整流器,而采用三相 PWM 整流器为电机侧级联型逆变器各 H 桥单元提供独立的直流电源,使得在不引入多脉波整流技术的情况下,就能够实现单位功率因数的整流和逆变,且网侧电流呈正弦,谐波含量小。为验证该结构变频器适合应用于高压大功率交流变频调速领域,以高压异步电动机为典型负载,采用基于转子磁链定向的矢量控制策略,对异步电动机的启动和突加负载特性进行了研究,并在 Matlab/Simulink 下进行了仿真实验,实验结果证明了设计的有效性。

**关键词:** 级联型; 高压变频器; 能量反馈; 矢量控制

中图分类号: TM 76

文献标识码: A

文章编号: 1006-6047(2011)04-0055-04

开发和推广大容量中、高压变频调速节能装置,对我国工业生产降低单产能耗具有重大意义<sup>[1]</sup>。然而,与低压变频器相比,高压变频器在很多方面有着更高的技术要求和难点,包括变频器的电路拓扑结构选择、电网侧的电能质量、功率开关器件的承受能力、高压电机的高性能控制等诸多方面<sup>[2]</sup>。

在比较目前国内外已有高压变频器的基础上,针对一种新型多电平高压变频器<sup>[3]</sup>进行研究和设计,其主电路采用三相 PWM 整流器代替二极管不控整流单元,以实现变频器整机的四象限运行。为验证新型高压变频器在大功率交流传动领域的应用,以高压异步电动机为典型负载,研究了采用矢量控制策略下的高压异步电动机运行特性,并在 Matlab/Simulink 下进行了仿真实验,仿真结果证明了设计的有效性。

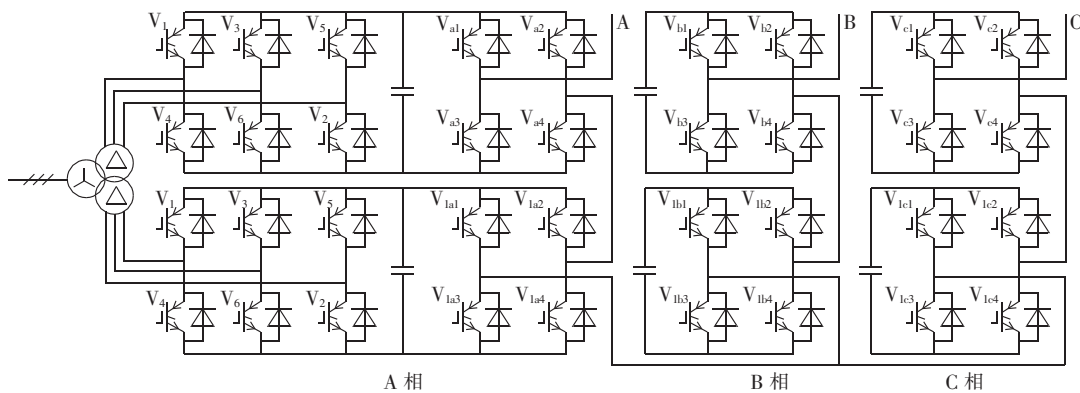


图 1 新型高压变频器主电路拓扑  
Fig.1 Topology of high-voltage converter

收稿日期:2010-05-07;修回日期:2011-02-20

基金项目:2008 年度上海市重大技术装备研制专项(ZX08030);上海市科委“科技创新行动计划”(08DZ1200504,09DZ1201303)  
Project supported by the Key Apparatus Design Project of Shanghai Government(ZX08030) and Shanghai Technique Innovative Plan(08DZ1200504,09DZ1201303)

## 1 主电路拓扑结构

开发新型高性能级联型多电平高压变频器,其主电路拓扑结构如图 1 所示,此处只给出了两单元级联示意,更多单元级联情况与此类似,网侧三相 PWM 整流器也只给出了 A 相,B、C 相也类似。

新型高压变频器结构特点如下:

a. 由于网侧整流单元采用三相 PWM 整流器,无需多脉波整流技术,故网侧仅通过普通隔离降压变压器将 10 kV 高压降低至 690 V,而非使用做工严格的移相变压器;

b. 变频器可以实现四象限运行,网侧单元能够实现单位功率因数整流和逆变,其作用是为逆变侧各 H 桥单元提供独立的直流电源,同时也可按要求输出一定的无功功率;

c. 电机侧逆变单元采用 H 桥级联方式,使用低

压器件实现多电平高压输出,采用级联方式,控制技术成熟,保障了装置的可靠运行,结合现代交流电机的高性能控制算法,可实现其在多种场合下应用。

## 2 工作原理及数学模型

新型高压变频器由多个功率单元组成,各单元结构和原理相同,在建立新型高压变频器的数学模型之前,以一单元为典型代表,从能量平衡的角度出发,深入探究其工作特性。将流过电解电容的电流分解为注入电容电流和抽取电容电流2种。为维持直流侧电压的稳定,注入电容电流和抽取电容电流是个动态调节平衡的过程:当电机侧工作在电动状态时,网侧变换器处于整流状态,此时电机侧逆变器从电容抽取电流,网侧变换器向电容注入电流;反之,当电机侧变换器工作在制动状态时,网侧变换器处于逆变状态,此时,网侧变换器从电容抽取电流,电机侧变换器向电容注入电流。其工作原理见图2(a)(b)。

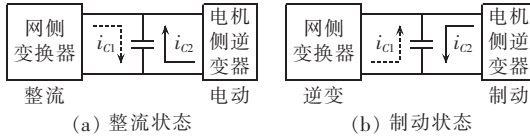


图2 新型高压变频器的工作原理

Fig.2 Principle of high-voltage converter

注入电容电流和从电容抽出的电流在动态时不相等是直流侧电压波动的原因,故

$$C \frac{du_{dc}}{dt} = i_{C1} - i_{C2} \quad (1)$$

其中,C为直流侧电容值;u<sub>dc</sub>是直流侧电压值;i<sub>C1</sub>由网侧三相PWM整流器提供,网侧功率器件的开关状态决定;i<sub>C2</sub>由H桥单元所带负载引起,与其功率器件开关状态有关。因此要分别建立网侧变换器和电机侧H桥单元的开关函数模型。设s<sub>d</sub>,s<sub>q</sub>是网侧dq坐标系下的单极性二值逻辑开关函数,取值为0或1;s<sub>L</sub>,s<sub>R</sub>是H桥单元左、右半桥的单极性二值逻辑开关函数,取值分别为0或1。u<sub>d</sub>,u<sub>q</sub>,i<sub>d</sub>,i<sub>q</sub>是网侧变换器电网电压和输入电流在d,q轴上的分量。

网侧变换器流过直流侧电容的电流i<sub>C1</sub>为<sup>[4-5]</sup>

$$i_{C1} = \frac{3}{2} (s_d i_d + s_q i_q) \quad (2)$$

i<sub>d</sub>,i<sub>q</sub>可通过式(3)计算:

$$\begin{aligned} L \frac{di_d}{dt} &= u_d - s_d u_{dc} - i_d R \\ L \frac{di_q}{dt} &= u_q - s_q u_{dc} - i_q R \end{aligned} \quad (3)$$

其中,L为网侧变换器的输入电感值;R为网侧变换器等效电阻。

电机侧变换器流过直流侧电容的电流i<sub>C2</sub>由电机侧负载电流i<sub>load</sub>及H桥单元的开关函数决定,可由式(4)计算:

$$i_{C2} = (s_L - s_R) i_{load} = \begin{cases} i_{load} & s_L = 1, s_R = 0 \\ 0 & s_L = 1, s_R = 1; s_L = 0, s_R = 0 \\ -i_{load} & s_L = 0, s_R = 1 \end{cases} \quad (4)$$

电机侧变换器输出电压u<sub>o</sub>可由式(5)表示<sup>[6]</sup>:

$$u_o = (s_L - s_R) u_{dc} = \begin{cases} u_{dc} & s_L = 1, s_R = 0 \\ 0 & s_L = 1, s_R = 1; s_L = 0, s_R = 0 \\ -u_{dc} & s_L = 0, s_R = 1 \end{cases} \quad (5)$$

综合式(1)~(5)可得新型高压变频器一功率单元在dq坐标系下的数学模型,如式(6)所示:

$$\begin{cases} L \frac{di_d}{dt} = u_d - s_d u_{dc} - i_d R \\ L \frac{di_q}{dt} = u_q - s_q u_{dc} - i_q R \\ C \frac{du_{dc}}{dt} = \frac{3}{2} (s_d i_d + s_q i_q) - (s_L - s_R) i_{load} \\ u_o = (s_L - s_R) u_{dc} \end{cases} \quad (6)$$

以上分析了新型高压变频器的工作原理和关联环节,这是进行电网侧变换器和电机侧变换器协同控制的理论基础。

## 3 异步电机矢量控制

在轧钢、电力牵引等高压大功率应用场合,特别需要对电动机加以高性能的控制,如矢量控制<sup>[7]</sup>等。采用坐标变换将交流异步电动机投影到同步旋转坐标系下进行控制,以达到与直流电动机类似的良好控制性能。为此,首先简要介绍高压异步电动机在基于转子磁链定向的dq坐标系下的数学模型<sup>[8]</sup>。

将d轴定向于转子磁链方向,高压异步电动机的定、转子电压方程如下:

$$\begin{cases} u_{sd} = R_s i_{sd} + \frac{L_s L_r - L_m^2}{L_s L_r} p i_{sd} + \frac{L_m}{L_r} p \psi_r - \omega_s \frac{L_s L_r - L_m^2}{L_s L_r} i_{sq} \\ u_{sq} = R_s i_{sq} + \frac{L_s L_r - L_m^2}{L_s L_r} p i_{sq} + \frac{L_m}{L_r} \omega_s \psi_r + \omega_s \frac{L_s L_r - L_m^2}{L_s L_r} i_{sd} \\ 0 = \frac{L_m}{L_r} R_r i_{sd} + \frac{R_r}{L_r} \psi_r + p \psi_r \\ 0 = \frac{L_m}{L_r} R_r i_{sq} + (\omega_s - \omega_r) \psi_r \end{cases} \quad (7)$$

其中,u<sub>sd</sub>,u<sub>sq</sub>为定子电压d,q轴分量;i<sub>sd</sub>和i<sub>sq</sub>为定子电流d,q轴分量;R<sub>s</sub>和R<sub>r</sub>为定、转子绕组等效电阻;L<sub>r</sub>,L<sub>s</sub>为dq坐标系下定、转子的等效电感;L<sub>m</sub>为定、转子绕组间的等效互感;ψ<sub>r</sub>为转子磁链;ω<sub>s</sub>,ω<sub>r</sub>为定、转子的电角速度;p为微分算子。

转子磁链由i<sub>sd</sub>决定,磁链方程如下:

$$\psi_r = L_m i_{sd} / \left( \frac{R_r}{L_r} p + 1 \right) \quad (8)$$

电磁转矩由i<sub>sq</sub>决定,如式(9)所示:

$$T_e = n_p L_m (i_{sq} i_{rd} - i_{sd} i_{rq}) = n_p \frac{L_m}{L_r} \psi_r i_{sq} \quad (9)$$

其中,T<sub>e</sub>为电磁转矩;n<sub>p</sub>为电机极对数。

电机运动方程如式(10)所示:

$$T_e - T_L = \frac{J}{n_p} \frac{d\omega_r}{dt} \quad (10)$$

其中,  $T_L$  为负载转矩;  $J$  为转动惯量。

上述式(7)~(10)是异步电机矢量控制的理论基础。同时,为了得到同步旋转坐标变换所需要的角度,还需要知道磁链位置角  $\varphi$ ,可通过式(11)计算:

$$\varphi = \theta_r + \theta_{ls} = \int (\omega_r + \omega_{ls}) dt \quad (11)$$

其中,  $\omega_{ls}$  为滑差角速度,且  $\omega_{ls} = \frac{L_m i_{sq}}{(L_r / R_r) \psi_r}$ ;  $\omega_r$  为转子机械角速度,通过速度传感器测量获得;  $\theta_r$  为转子机械角速度;  $\theta_{ls}$  为计算得到的滑差角度。

构建高压异步电动机的转速、转矩双闭环矢量控制系统<sup>[9-10]</sup>,如图3所示。外环速度控制器根据角速度给定值  $\omega^*$  和转子机械角速度反馈值  $\omega$  进行偏差调节,调节器输出为内环转矩给定值  $T_e^*$ ; 内环磁链和转矩控制是将计算所得转矩和磁通值与给定值进行偏差控制,其结果是 PWM 发生模块所需信号,根据这些信号,通过载波移相 PWM 技术输出相应的功率器件开关信号来调整逆变器输出电压和频率。

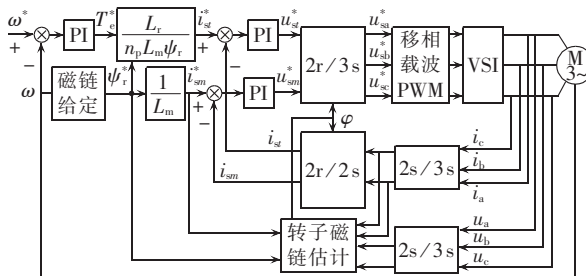


图3 高压异步发电机矢量控制系统

Fig.3 Vector control system of high-voltage asynchronous induction motor

其中, 移相载波 PWM 脉冲产生模块的原理<sup>[11-15]</sup>是: 每相 H 桥单元采用相同的正弦参考信号, 不同的 H 桥使用不同相位的三角载波, 三角载波个数与级联的单元数  $N$  相同, 各载波之间依次移相  $180^\circ/N$ , 然后与调制波进行比较以生成  $N$  组独立的 PWM 调制信号, 去驱动级联功率单元, 如图4所示( $u$  为标么值)。

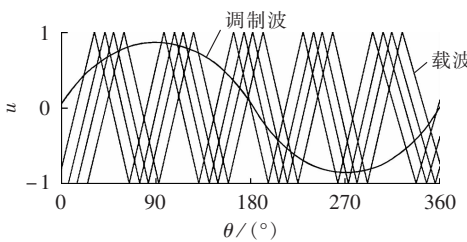


图4 移相载波 PWM 控制策略

Fig.4 Phase-shifted carrier PWM strategy

#### 4 仿真实验

在 Matlab/Simulink 中搭建基于新型高压变频器的异步电动机的调速系统。部分元件参数如下: 异步电动机额定功率 500 kW, 定子额定线电压有效值 6.9 kV, 转动惯量 0.062 kg·m<sup>2</sup>, 电机极对数为 2, 电机

额定转速为 1500 r/min, 电网额定线电压有效值为 10 kV, 降压变压器二次侧线电压有效值为 690 V, 直流侧电压给定值为 1200 V, 采用五级级联, 功率单元数共有 15 个, 电机给定角速度为 220 rad/s, 在 0.3 s 突加 1000 N·m 的负载转矩。图 5~9 为在上述条件下的仿真结果。

为了更清晰显示, 图 5 给出了 0.6~1.0 s 部分区间的局部放大图, 可见电机定子相电压为典型的十一电平, 相电流呈现较好的正弦。

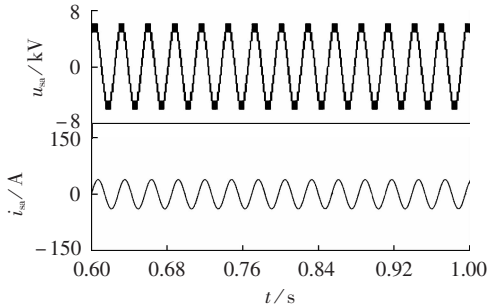


图5 电机定子绕组相电压、相电流波形

Fig.5 Phase voltage and current of stator winding

图 6 为电机的角速度响应,由图可见,电机启动后,角速度迅速稳定于给定值 220 rad/s,在 0.3 s 时突加 1000 N·m 负载转矩,电机角速度虽然出现少许波动,但很快恢复到给定值,表明了角速度在稳态、动态都得到良好的控制。

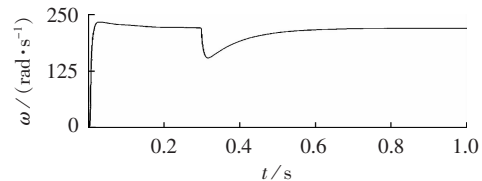


图6 电动机角速度响应波形

Fig.6 Rotor speed response of induction motor

图 7 为电机的电磁转矩响应波形,在 0~0.3 s, 电机空载,产生的电磁转矩约为 0,在 0.3 s 时突加 1000 N·m 负载转矩后,由于系统采用了带有转矩闭环的矢量控制,电机能够迅速输出相应的电磁转矩。

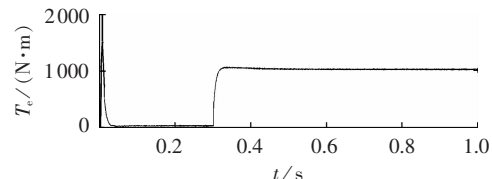


图7 电动机电磁转矩波形

Fig.7 Electromagnetic torque of induction motor

图 8 为变频器的某一功率单元直流侧电压在整个仿真过程中的波形,由于网侧变换器采用的是 PWM 整流, 直流侧电压可控可调, 在负载变化时, 其响应速度快、超调小, 且较为稳定, 波动很小。

图 9 为高压变频器 a 相的输入电流、电压波形, 在 0~0.3 s 电机启动完毕, 由于空载, 其输入电流逐步稳定于 0 A, 在 0.3 s 突加负载后, 输入电流迅速增

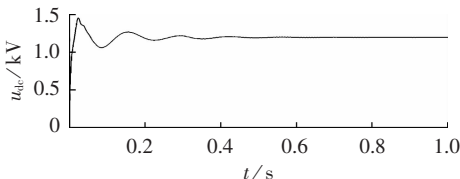


图8 直流侧电压波形

Fig.8 Waveform of DC link voltage

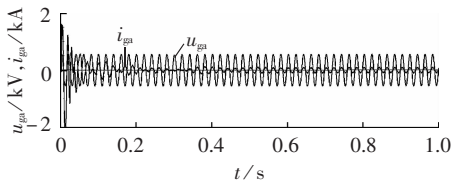


图9 电网相电压和电流波形

Fig.9 Phase voltage and current at grid side

加到相应的数值,此时,高压变频器输入侧相电压和电流同相,实现了单位功率因数整流,同时电流波形为较好的正弦,畸变率小于使用多脉波整流技术的网侧输入电流。

## 5 结论

本文以一种新型的高压变频器为研究对象,从能量平衡的角度出发,建立了其数学模型。在此基础上,研究了典型负载高压大功率异步电机的矢量控制,并在Matlab/Simulink中进行了系列仿真实验,仿真结果证明了新型高压变频器具有良好的性能,十分适合应用于高压大功率场合。

## 参考文献:

- [1] 李永东. 大容量多电平变换器:原理、控制、应用[M]. 北京:科学出版社, 2005:1-5.
- [2] 吴斌. 大功率变频器及交流传动[M]. 北京:机械工业出版社, 2008: 1-15.
- [3] RODRIGUEZ J, LAI Jihsheng, PENG Fangzheng. Multilevel inverters:a survey of topologies, controls, and applications[J]. IEEE Transactions on Industrial Electronics, 2002,49(4):724-738.
- [4] 张崇巍,张兴. PWM整流器及其控制[M]. 北京:机械工业出版社, 2003:112-115.
- [5] ROCHA R, de SIQUEIRA M F L. A discrete current control for PWM rectifier[C]//Proceedings of the IEEE International Symposium on Industrial Electronics. Dubrovnik, Croatia: [s.n.], 2005: 681-686.
- [6] KOURO S, BERNAL R, SILVA C. High performance torque and

flux control for multilevel inverter fed induction motors[J]. IEEE Transactions on Power Electronics, 2007,22(6):2116-2123.

- [7] 高景德,高衍祥,李发海. 交流电机及其系统的分析[M]. 北京:清华大学出版社, 2005:445-490.
- [8] 陈伯时. 电力拖动自动控制系统[M]. 北京:机械工业出版社, 2004: 190-210.
- [9] MASAHIKO A, KAZUO I, HIDEAKI T, et al. High performance IM drive by coordinate control using a controlled current inverter[J]. IEEE Transactions on Industry Applications, 1982,18(4): 382-392.
- [10] 李晓静,周书晴. 一种基于DSP的变频调速系统的SVPWM控制方法[J]. 电力自动化设备, 2005, 25(9):43-46.
- [11] LI Xiaojing, ZHOU Shuqing. A SVPWM control method for variable-frequency speed-governing system based on DSP [J]. Electric Power Automation Equipment, 2005, 25(9):43-46.
- [12] 袁志昌,宋强,刘文华. 载波移相SPWM开关频率的选取[J]. 电力自动化设备, 2009, 29(8):37-40.
- [13] YUAN Zhichang, SONG Qiang, LIU Wenhua. Selection of phase -shift SPWM switching frequency [J]. Electric Power Automation Equipment, 2009, 29(8):37-40.
- [14] 刘海波,毛承雄,陆继明. 基于多绕组变压器隔离型变换器的链式STATCOM研究[J]. 电力自动化设备, 2007, 27(12):5-10.
- [15] LIU Haibo, MAO Chengxiong, LU Jiming. Research of STATCOM based on multi-winding-transformer-isolated converter [J]. Electric Power Automation Equipment, 2007, 27(12):5-10.
- [16] 侯世英,万江,郑含博. 单相五电平逆变器的多载波PWM方法分析[J]. 电力自动化设备, 2007, 27(9):67-72.
- [17] HOU Shiying, WAN Jiang, ZHENG Hanbo. Analysis of multi-carrier PWM methods for single-phase five-level inverter [J]. Electric Power Automation Equipment, 2007, 27(9):67-72.
- [18] 江友华,曹以龙,龚幼民. 基于载波相移角度的级联型多电平变频器输出性能的研究[J]. 中国电机工程学报, 2007, 27(1): 76-85.
- [19] JIANG Youhua, CAO Yilong, GONG Youmin. Research on the cascade multilevel inverter based on different carrier phase -shifted angle[J]. Proceedings of the CSEE, 2007, 27(1):76-85.

(编辑: 李育燕)

## 作者简介:

张亮(1982-),男,安徽马鞍山人,博士研究生,研究方向为大功率电力电子变换器在风力发电和有源电力滤波器中的应用(E-mail: zhldream@126.com, liangzhdream@sjtu.edu.cn);

陈国栋(1982-),男,安徽池州人,博士研究生,研究方向为大功率电力电子技术;

蔡旭(1964-),男,江苏徐州人,教授,博士研究生导师,博士,研究方向为风力发电相关技术、电网故障处理、大功率电力电子等(E-mail: xucai@sjtu.edu.cn)。

## Novel high voltage converter

ZHANG Liang<sup>1</sup>, CHEN Guodong<sup>1,2</sup>, CAI Xu<sup>1</sup>

(1. Wind Power Research Center, Shanghai Jiao Tong University, Shanghai 200240, China;  
2. Shanghai Electric Power Transmission Company, Shanghai 200240, China)

**Abstract:** An energy-regenerative cascaded high voltage converter is designed. The three-phase PWM rectifier is used in grid converter, instead of the traditional diode uncontrollable rectifier, to supply isolated DC for each H-bridge of the cascaded inverter at motor side, which makes its rectifier and inverter both operating with unity power factor and the grid-side current totally sinusoidal with few harmonics, though the multi-pulse rectifier technique is not applied. The startup and load sudden increase of high voltage asynchronous induction motor under rotor flux oriented vector control is simulated on Matlab/Simulink platform and results show the designed converter is suitable for HV AC speed adjustment system.

**Key words:** cascade-type; high voltage converter; energy regeneration; vector control